



# БИООРГАНИЧЕСКАЯ ХИМИЯ

том 7 \* № 7 \* 1981

УДК 547.964.4:543.422.23

## КОНФОРМАЦИОННАЯ ПОДВИЖНОСТЬ АНГИОТЕНЗИНА И НЕКОТОРЫХ ЕГО АНАЛОГОВ, ВЫЯВЛЕННАЯ ПО ВРЕМЕНАМ СПИН-РЕШЕТОЧНОЙ РЕЛАКСАЦИИ ЯДЕР $^{13}\text{C}$

*Секацис И. П., Лиепиньши Э. Э., Амцанс Ю. Е.,  
Берга Д. А., Чипенс Г. И.*

*Институт органического синтеза Академии наук Латвийской ССР, Рига*

Изучены спектры  $^{13}\text{C}$ -ЯМР и определены времена спин-решеточной релаксации  $T_1$  ядер углерода-13 ангiotензина и четырех его аналогов. Показано, что конформационная подвижность С-концевых аминокислотных остатков ангiotензина ограничена при pH 4,0. Протонирование  $\alpha$ -карбоксильной группы приводит к повышению мобильности как С-концевой части, так и всей молекулы ангiotензина.

Экспериментальное изучение структурно-функциональной организации и механизма действия ангиотензина (АТ) проводится главным образом косвенными методами — путем синтеза и изучения биологической активности его аналогов. При таком подходе порой невозможно определить, что влияет на биологические свойства: модификация функциональных групп, изменение конформационных свойств молекулы или одновременно и то и другое. Пространственное строение октапептида ангиотензина Asp<sup>1</sup>-Arg<sup>2</sup>-Val<sup>3</sup>-Tyr<sup>4</sup>-Val<sup>5</sup>-Ile<sup>6</sup>-His<sup>7</sup>-Pro<sup>8</sup>-Phe<sup>9</sup> в последние годы является объектом интенсивных исследований биологов и физикохимиков [1, 2]. Тем не менее однозначных данных о конформации этого гормона пока не получено. По-видимому, это объясняется существованием в растворе определенного равновесия конформеров, которое меняется в зависимости от природы растворителя, а также изменением структуры молекулы при ее взаимодействии с клеточными рецепторами. Подтверждением этому служат, например, исследования биологической активности циклоаналогов брадикинина, которые указывают на то, что в комплексах с различными рецепторами молекула брадикинина имеет различную пространственную структуру [3].

Для исследования конформационной подвижности главной и боковых цепей и сопоставления полученных результатов с биологической активностью нами получены спектры  $^{13}\text{C}$ -ЯМР и определены времена спин-решеточной релаксации  $T_1$  ядер углерода в ангиотензине Asn<sup>1</sup>-Arg<sup>2</sup>-Val<sup>3</sup>-Tyr<sup>4</sup>-Val<sup>5</sup>-His<sup>6</sup>-Pro<sup>7</sup>-Phe<sup>8</sup> (I) и в следующих его аналогах: [*D*-Tyr<sup>4</sup>, Ile<sup>8</sup>]AT (II), [aza-Hva<sup>3</sup>, Ile<sup>8</sup>]AT (III), [*D*-Asn<sup>1</sup>, aza-*D*-Hty<sup>4</sup>]AT (IV), [Ile<sup>8</sup>]AT

Сокращения: (aza-Hva) — остаток аза- $\alpha'$ -гомо-L-валина,  $-\text{NH}-\overset{|}{\text{CH}}-\text{NH}-\text{CO}-$ ;

(aza-*D*-Hty) — остаток аза- $\alpha'$ -гомо-*D*-тирофина,  $-\text{NH}-\overset{|}{\text{CH}}-\text{NH}-\text{CO}-$ .



(V) (см. табл. 1; N – число протонов, присоединенных к углероду). Отнесение сигналов в спектрах к определенным углеродам проведено с использованием литературных данных [4, 5] и времен спин-решеточной релаксации  $T_1$ . Идентификация большинства карбонильных групп нами не произведена, однако уточнены значения химических сдвигов (ХС)  $\alpha$ -углерода в аспаргине и тирозине, которые в работе [6] указаны ошибочно. ХС для  $C^\alpha$  остатка Тир<sup>4</sup> в ангиотензине должен иметь величину 55,70 м.д., а не 57,28 [6], поскольку указанное нами значение совпадает с ХС этого углерода в [Asp<sup>1</sup>, Ile<sup>5</sup>]АТ (55,81 м.д.) [4] и в тетрапептиде Val-Tир-Val-His (55,83 м.д.) [5]. Резонансный сигнал при 50,86 м.д. с длинным временем релаксации ( $T_1$  370 мс, табл. 1) следует, по-видимому, отнести к  $C^\alpha$  остатка Asp<sup>1</sup>, поскольку его ХС близок к величине 51,3–51,8 м.д., характерной для резонанса этого углерода в спектрах  $^{13}\text{C}$ -ЯМР белков.

Систематическими исследованиями спектров  $^{13}\text{C}$  линейных олигопептидов показано, что ХС углеродов в цеконцевых остатках аминокислот не зависят от природы соседних аминокислот, за исключением пролина [7, 8]. Основные изменения ХС определенных аминокислотных остатков происходят главным образом за счет различий в пространственной структуре пептидов. Найденное ХС  $^{13}\text{C}$  ангиотензина и его аналогов (II)–(V) совпадают в пределах 1 м.д. со значениями в денатурированных белках [9]. Это свидетельствует об отсутствии сильных внутримолекулярных контактов в изученных пептидах. В условиях получения спектров  $^{13}\text{C}$ -ЯМР (рН 1,2–4,6) для соединений (I)–(V) не были обнаружены сигналы, относящиеся к *цикло*-конформеру относительно пептидной связи His<sup>6</sup>-Pro<sup>7</sup>. Этот результат согласуется с данными работы [10], где показано, что значительная доля (16%) *цикло*-изомера в молекуле появляется лишь при  $\text{pH} > 6$ .

Времена спин-решеточной релаксации  $T_1$  ядер  $^{13}\text{C}$  дают ценную информацию о динамике конформационных переходов в пептидах. Доминирующим механизмом релаксации протонированных углеродов больших молекул является диполь-дипольное взаимодействие [11]. Наблюдаемые значения  $T_1$  связаны с эффективным временем корреляции движения вращательной переориентации соотношением [12]

$$\frac{1}{NT_1} = \frac{\hbar^2 \gamma_C^2 \gamma_H^2}{10r^6} [f(\omega_H - \omega_C) + 3f(\omega_C) + 6f(\omega_H + \omega_C)], \quad (1)$$

где  $f(\omega) = \tau_{\text{эфф}} / (1 + \omega^2 \tau_{\text{эфф}}^2)$ ;  $\omega_H$  и  $\omega_C$  – угловые частоты резонансов ядер  $^1\text{H}$  и  $^{13}\text{C}$ ;  $\gamma_H$  и  $\gamma_C$  – гиromагнитные соотношения для ядер  $^1\text{H}$  и  $^{13}\text{C}$ ;  $r$  – усредненное расстояние между ядрами С–Н; N – число протонов, присоединенных к углероду;  $\hbar$  – постоянная Планка, деленная на  $2\pi$ . Эффективное время корреляции – функция скоростей переориентации молекулы  $\tau_{\text{мол}}$  и внутреннего движения  $\tau_{\text{внутр}}$  [11–13]. Разделить эти два члена в общем случае весьма сложно. Показано [4, 14], что значения  $NT_1$  мало чувствительны к форме молекулы. Основной вклад в величину  $NT_1$  дает сегментное внутреннее движение, которое, очевидно, необходимо учитывать при описании движения главной цепи пептида. Время корреляции внутреннего движения относительно связей С–С боковых цепей не зависит от общей конформации [15] и отражает в основном взаимодействие между боковыми радикалами [5]. При выполнении условий предельного сужения  $(\omega_H + \omega_C)\tau_{\text{эфф}} \ll 1$  большее значение  $NT_1$  соответствует более мобильному углероду. Так, в линейных пентапептидах типа Gly-Gly-X-Gly-Gly, где X – любая аминокислота, мобильность остава увеличивается от середины пептида к концам, о чем свидетельствует постепенное увеличение значений  $NT_1$ . Последние для концевых  $\alpha$ -углеродов в 2–4 раза больше, чем у центрального остатка [7]. В пептидах, содержащих объемистые боковые радикалы, различия между величинами  $NT_1$  для концевых и средних  $\alpha$ -углеродов меньше, что связано с более ограниченной под-

Химические сдвиги  $^{13}\text{C}$  ( $\delta$ , м.д.) и значения  $\text{NT}_1$  аналогов ампидезина (I)–(V) в  $^2\text{H}_2\text{O}$ 

Соединение	(I)			(II)			(III)			(IV)			(V)					
	pH 4,0		$\delta$	pH 4,2		$\delta$	pH 3,8		$\delta$	pH 1,4		$\delta$	(III) <sup>3*</sup>		$\delta$	(IV) <sup>4*</sup>		
	$\delta$	$\text{NT}_1$		$\delta$	$\text{NT}_1$		$\delta$	$\text{NT}_1$		$\delta$	$\text{NT}_1$		$\text{pH } 4,6$	$\text{pH } 4,8$		$\text{pH } 4,2$	$\text{pH } 4,3$	
Asn	50,86 35,93	370 610	50,78 35,89	450 800	50,82 35,93	360 530	50,78 35,85	340 500	50,82 35,89	370 590	50,92 36,41	370 620	50,81 36,45	320	—	—		
C=O	169,80	—	169,71	—	169,80	—	169,71	—	169,80	—	—	—	169,49	36,45	540	—	—	
Arg	54,49 29,24	210 320	54,49 29,24	260 440	54,45 29,33	210 290	54,45 29,24	200 300	54,71 29,07	260 340	54,53 29,59	310 370	54,53 29,42	240	290	240	290	240
Ct	25,23 <sup>1*</sup>	420 <sup>2*</sup>	25,23 <sup>1*</sup>	470 <sup>2*</sup>	25,62 <sup>1*</sup>	460 <sup>2*</sup>	25,71 <sup>1*</sup>	430 <sup>2*</sup>	25,58 <sup>1*</sup>	580 <sup>2*</sup>	25,36	450 <sup>2*</sup>	25,40 <sup>1*</sup>	480 <sup>2*</sup>	480 <sup>2*</sup>	480 <sup>2*</sup>	480 <sup>2*</sup>	
C <sup>6</sup>	44,59	640	44,59	840	44,67	520	44,63	580	44,59	670	44,54	580	44,72	560	—	—	—	
C <sup>5</sup>	457,93	—	457,93	—	457,93	—	457,89	—	457,93	—	157,93	—	157,93	—	157,55	—	—	—
Val <sup>3</sup>	60,23 31,27	170 <sup>2*</sup> 210 <sup>2*</sup>	60,23 31,27	160 <sup>2*</sup> 250 <sup>2*</sup>	60,45 31,23	160 <sup>2*</sup> 190	60,49 31,19	160 <sup>2*</sup> 200	63,25 32,91	180 240	60,40 <sup>1*</sup> 31,32 <sup>1*</sup>	180 220	60,29 19,41 <sup>1*</sup>	180 1320 <sup>2*</sup>	160 <sup>2*</sup> 200 <sup>2*</sup>	160 <sup>2*</sup> 200 <sup>2*</sup>	160 <sup>2*</sup> 200 <sup>2*</sup>	
C <sup>7</sup>	19,32	1260 <sup>2*</sup>	19,32	1340 <sup>2*</sup>	19,23	1220 <sup>2*</sup>	19,19	1220 <sup>2*</sup>	18,55 <sup>1*</sup>	1460 <sup>1*</sup>	19,51	1460 <sup>1*</sup>	19,51	1170 <sup>2*</sup>	1170 <sup>2*</sup>	1170 <sup>2*</sup>	1170 <sup>2*</sup>	
C <sup>8</sup>	18,72	1440 <sup>2*</sup>	18,72	1830 <sup>2*</sup>	18,54	1380 <sup>2*</sup>	18,59	1390 <sup>2*</sup>	18,22 <sup>1*</sup>	1740 <sup>1*</sup>	18,33	1480 <sup>2*</sup>	18,93	1320 <sup>2*</sup>	1320 <sup>2*</sup>	1320 <sup>2*</sup>	1320 <sup>2*</sup>	
Tyr	55,70 37,34	180 230	55,74 37,34	180 300 <sup>2*</sup>	56,26 37,49	180 240	56,26 37,36	180 230 <sup>2*</sup>	56,43 38,05	470 <sup>2*</sup>	59,58	470 <sup>2*</sup>	59,58	170 220	55,76 37,44	170 220	55,76 37,44	
C <sup>9</sup>	129,49	—	129,49	—	129,45	—	129,49	—	129,40	—	129,22	—	129,22	—	129,94	—	129,94	—
C <sup>10</sup>	131,60	220	131,60	250	131,56	200	131,52	210	131,65	280	131,73	230	131,30	210	—	—	—	—
C <sup>11</sup>	116,50	230	116,46	300	116,76	490	116,72	200	116,50	280	116,59	240	116,29	240	—	—	—	—
C <sup>12</sup>	155,64	—	155,60	—	155,73	—	155,73	—	155,60	—	155,56	—	155,30	—	—	—	—	—
Val <sup>5</sup>	60,23 31,27	170 <sup>2*</sup> 210 <sup>2*</sup>	60,23 31,27	160 <sup>2*</sup> 250 <sup>2*</sup>	60,45 31,27	160 <sup>2*</sup> 30,71	60,49 30,71	160 <sup>2*</sup> 200	60,49 31,06	170 250	61,01 31,97 <sup>1*</sup>	170 210	60,29 31,42	60,29 31,42	160 <sup>2*</sup> 200 <sup>2*</sup>	160 <sup>2*</sup> 200 <sup>2*</sup>	160 <sup>2*</sup> 200 <sup>2*</sup>	
C <sup>13</sup>	19,32	1260 <sup>2*</sup>	19,32	1340 <sup>2*</sup>	19,23	1220 <sup>2*</sup>	19,19	1220 <sup>2*</sup>	19,23 <sup>1*</sup>	1430 <sup>1*</sup>	19,32 <sup>1*</sup>	1320 <sup>2*</sup>	19,51	1170 <sup>2*</sup>	1170 <sup>2*</sup>	1170 <sup>2*</sup>	1170 <sup>2*</sup>	
C <sup>14</sup>	18,72	1440 <sup>2*</sup>	18,72	1830 <sup>2*</sup>	18,57	1380 <sup>2*</sup>	18,33	1460 <sup>1*</sup>	18,72 <sup>1*</sup>	1510 <sup>1*</sup>	18,38	1480 <sup>2*</sup>	18,93	1320 <sup>2*</sup>	1320 <sup>2*</sup>	1320 <sup>2*</sup>	1320 <sup>2*</sup>	
C <sup>15</sup>	51,30	170	51,34	220	51,34	450	51,30	460	51,25	470	51,17	470	51,43	—	160 <sup>2*</sup>	160 <sup>2*</sup>	160 <sup>2*</sup>	
His	27,04	220	26,89	310	27,13	—	26,96	230	27,09	260	27,43	260	27,45	240	—	—	—	—
C <sup>16</sup>	134,71	340	134,67	400	134,67	220	134,67	270	134,67	260	134,58	340	134,47	280	—	—	—	—
C <sup>17</sup>	118,75	270	118,74	370	118,79	240	118,75	260	118,70	320	118,55	290	118,62	270	—	—	—	—
C <sup>18</sup>	129,19	—	129,19	—	129,36	—	129,36	—	129,40	—	129,49	—	129,40	—	—	—	—	—
C=O	170,87	—	170,70	—	170,70	—	170,70	—	170,62	—	—	—	—	—	—	—	—	—

Таблица I (продолжение)

Соединение	(I)				(II)				(III) **				(IV) **				(V)			
	pH 4,0		pH 1,2		pH 3,8		pH 4,4		pH 4,6		pH 4,2		pH 4,3		pH 4,2		pH 4,3			
	$\delta$	NT <sub>i</sub>	$\delta$	NT <sub>i</sub>	$\delta$	NT <sub>i</sub>	$\delta$	NT <sub>i</sub>	$\delta$	NT <sub>i</sub>	$\delta$	NT <sub>i</sub>	$\delta$	NT <sub>i</sub>	$\delta$	NT <sub>i</sub>	$\delta$	NT <sub>i</sub>		
Pro	C <sup>a</sup>	61,83	180	61,52	190	64,82	190	61,44	170	61,83	240	61,87	220	61,85	200	61,85	200	61,85	200	
	C <sup>b</sup>	30,06	320	30,24	440	30,27	330	30,32	410	30,28	420	30,06	380	30,45	340	30,45	340	30,45	340	
	C <sup>c</sup>	25,36	420	25,45	470	25,36	490	25,32	430	25,25	510	25,36	450	25,89	480	25,89	480	25,89	480	
	C <sup>d</sup>	48,98	350	48,97	340	49,05	240	49,05	210	49,05	240	48,84	200	49,22	220	49,22	220	49,22	220	
Phe	C <sup>a</sup>	57,04	260	55,09	320	55,09	320	55,09	300	55,09	320	57,04	340	57,04	340	57,04	340	57,04	340	
	C <sup>b</sup>	38,39	340	37,40	—	37,40	—	37,40	—	37,39	—	38,39	360	38,39	360	38,39	360	38,39	360	
	C <sup>c</sup>	138,60	—	137,65	—	137,65	—	137,65	—	137,65	—	138,60	—	138,60	—	138,60	—	138,60	—	
	C <sup>d</sup>	130,53	480	130,44	600	130,44	600	130,44	600	130,44	600	130,53	500	130,53	500	130,53	500	130,53	500	
	C <sup>e</sup>	129,62	470	129,84	560	129,84	560	129,84	560	129,84	560	129,62	560	129,62	560	129,62	560	129,62	560	
	C <sup>f</sup>	127,89	330	128,28	420	127,89	420	127,89	420	127,89	420	127,90	330	127,90	330	127,90	330	127,90	330	
	C=O	178,24	—	175,66	—	175,66	—	175,66	—	175,66	—	175,66	—	175,66	—	175,66	—	175,66	—	
Ile	C <sup>a</sup>	—	—	—	—	—	—	—	—	—	—	—	—	—	—	—	—	—	—	
	C <sup>b</sup>	—	—	—	—	—	—	—	—	—	—	—	—	—	—	—	—	—	—	
	C <sup>c</sup>	—	—	—	—	—	—	—	—	—	—	—	—	—	—	—	—	—	—	
	C <sup>d</sup>	—	—	—	—	—	—	—	—	—	—	—	—	—	—	—	—	—	—	
	C <sup>e</sup>	—	—	—	—	—	—	—	—	—	—	—	—	—	—	—	—	—	—	
	C <sup>f</sup>	—	—	—	—	—	—	—	—	—	—	—	—	—	—	—	—	—	—	

Примечание: 1\* — отношение может быть обратным; 2\* — значение NT<sub>i</sub> усреднено изза перекрытия сигналов; 3\* — параметры остатка азота-H<sub>3</sub>N<sup>+</sup> указаны в рубрике Val<sub>3</sub>; 4\* — параметры остатка азота-D-H<sub>3</sub>N<sup>+</sup> указаны в рубрике T<sub>4</sub>.

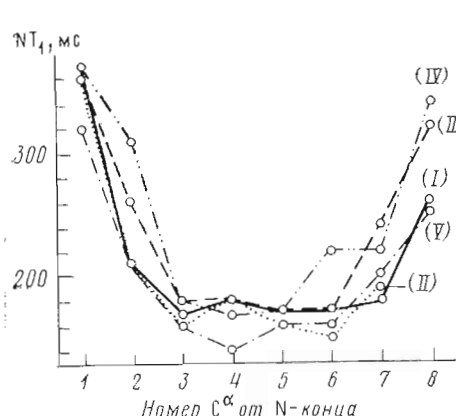


Рис. 1

Рис. 1. Значения  $NT_1$   $\alpha$ -углеродов аналогов АГ (I) – (V) как функция положения  $C^\alpha$  от N-конца пептида при  $42^\circ\text{C}$  и  $\text{pH} \sim 4$  в растворе  $^2\text{H}_2\text{O}$

Рис. 2. Значения  $NT_1$   $\alpha$ -углеродов ангиотензина в  $^2\text{H}_2\text{O}$  при  $42^\circ\text{C}$  и  $\text{pH } 4,0$  (1), 1,2 (2)

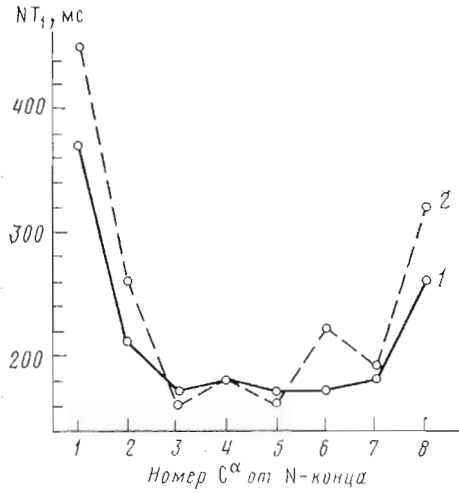


Рис. 2

вижностью остава и/или однородностью внутренних движений. Времена спин-решеточной релаксации  $\alpha$ -углеродов в циклопентиде грамицидине S различаются не более чем на 15% [13].

Времена релаксации  $T_1$   $\alpha$ -углеродов главной цепи пептидов (I) – (V) находятся в пределах 370–140 мс (табл. 1). Во всех соединениях два N-концевых аминокислотных остатка проявляют повышенную конформационную подвижность. Значения  $NT_1$  для них примерно в 2 раза больше, чем для остатков в положениях 3–6 (табл. 1, рис. 1), что указывает на более свободное внутреннее движение в этой части молекулы. Поэтому мало вероятно существование факторов, стабилизирующих конформацию типа  $\beta$ -изгиба в N-концевой части гормона [16], или ион-дипольной связи между N- и C-концами [17] в водной среде. Отсутствие определенной конформации в N-концевой части ангиотензина хорошо коррелирует с данными биологических исследований аналогов, модифицированных в положении 1 и 2, а также аналогов, укороченных с N-конца. Показано [18], что при любой модификации в положениях 1 и 2 сохраняется специфическая биологическая активность, часто значительная. Удаление N-концевых аминокислотных остатков лишь понижает активность, не изменяя характера действия.

Время спин-решеточной релаксации  $C^\alpha$  остатка Phe<sup>8</sup> меньше, чем у N-концевой аминокислоты, однако больше, чем у средних остатков в ангиотензине. Это может свидетельствовать о некоторой ограниченности движения C-конца по сравнению с N-концом, что наблюдается как в агонистах, так и в antagonистах. Такой вывод согласуется с моделями, предполагающими стабилизацию конформации C-конца в виде изгибов [19, 20]. Введение аза- $\alpha'$ -гомоаминокислот (соединения (III) и (IV)) существенно повышает мобильность концевых аминокислот, в том числе и C-конца. Данные теоретического конформационного анализа остатков аза- $\alpha'$ -гомоаминокислот также говорят об их повышенной мобильности [21]. Протонирование  $\alpha$ -карбоксильной группы вызывает увеличение времен релаксации ангиотензина (рис. 2), что, вероятно, связано с разрушением несколько более стабилизированной конформации, существующей при pH

4,0. Спектры КД также указывают на конформационный переход в молекуле ангиотензина в районе рН 1–4 [16]. Напротив, совпадение в пределах ошибок значений  $NT_1$ , остава аналога (II) при рН 1,4 и 3,8 (табл. 1) свидетельствует об отсутствии изменений в конформационной подвижности. Определение времен спин-решеточной релаксации  $T_1$  при рН, близких к физиологическим, было невозможно из-за низкой растворимости соединений в этих условиях.

К сожалению, количественное сравнение значений  $NT_1$  из табл. 1 с известными литературными данными [4, 15] невозможно из-за различий в частотах спектрометров и температуре. Кроме того, в работах [4, 15] были использованы другие аналоги ангиотензина: [ $Asp^1, Pe^5$ ]АТ и [ $Asp^1, Pe^5, Leu^8$ ]АТ. Для этих аналогов резонансы  $\alpha$ -углеродов концевых аминокислот перекрываются с другими сигналами, поэтому найденные значения  $NT_1$  в [4] являются усредненными и не могут быть использованы для определения мобильности.

Времена спин-решеточной релаксации  $T_1$   $\alpha$ -углеродов остатков 2–7 нами были использованы для определения среднего времени релаксации, которое затем, согласно уравнению (1), применялось для расчета эффективного времени корреляции.  $\tau_{\text{эфф}}$  меняется в соединениях (I)–(V) от  $2,2 \cdot 10^{-10}$  до  $2,9 \cdot 10^{-10}$  с (табл. 2), что находится в пределах экспериментальной ошибки ( $\pm 16\%$ ).

Хотя данные времен спин-решеточной релаксации получены при рН 4, интересно сопоставить конформационную подвижность с биологической активностью. Наблюдается существенное усиление ингибирующих свойств и понижение нежелательной прессорной реакции специфического антагониста [ $Pe^8$ ]АТ (соединение (V)) при увеличении его конформационной подвижности, вызванной заменой валина в положении 3 на аза- $\alpha'$ -гомовалин (соединение (III)) (значения  $PA_2$  в табл. 3 соответственно 8,2 и 9,7). Такая же модификация в ангиотензине (аналог (VI)) в 5 раз уменьшает его прессорную активность и приводит к появлению значительной антигистической активности (табл. 3). Времена релаксации  $T_1$  у аналога (II) примерно такие же, как у соединений (I) и (V), однако биологическая активность полностью отсутствует. В этом случае, вероятно, первостепенную роль играет не подвижность остава (она приблизительно одинакова в (I), (II) и (V)), а иная ориентация боковых цепей остатков  $Tug^4$  и  $His^6$  в связи с заменой  $L$ -Туг на  $D$ -Туг, что исключает возможность связывания с рецептором. При одинаковой ориентации активность зависит от конформационной подвижности молекулы.

Подвижность боковых цепей мало меняется при переходе от соединения (I) к (V). Относительно малая подвижность боковой цепи аргинина [4] сохраняется в пептидах (I)–(V) и не зависит от степени ионизации С-концевой аминокислоты. Это указывает на отсутствие ион-дипольного взаимодействия между гуанидиновой и  $\alpha$ -карбоксильной группами в водном растворе [22]. Значения  $NT_1$  в валинах примерно в 9 раз большие для  $CH_3$ -групп, чем для  $\alpha$ -углеродов. Большие  $NT_1$ -величины для углеродов метильных групп валиновых остатков свидетельствуют об отсутствии каких-либо стерических факторов, ограничивающих их быстрое вращение [12]. Фенольное кольцо тирозина в соединениях (I) и (IV) несколько менее подвижно, чем фенильное кольцо фенилаланина.

Таким образом, полученные данные говорят о свободном сегментном движении N-концевой части ангиотензина. Предыдущие исследования ангиотензина методом ЯМР [23–25] и КД [26] свидетельствуют о взаимном влиянии боковых цепей остатков  $Tug^4$  и  $His^6$ . Этот факт авторами работ [23–26] интерпретируется как доказательство вытянутой структуры для фрагмента  $Tug^4$ - $Val^5$ - $His^6$ . Полученные в настоящей работе результаты не противоречат этой гипотезе, которая основывается на стабилизирующей роли объемистого бокового радикала остатка  $Val^5$  в ориентации остатков  $Tug^4$  и  $His^6$  [23–25]. Но вместе с тем значения  $NT_1$  для  $\alpha$ -углеродов глав-

Таблица 2

Средние значения  $NT_1$  (мс) углеродов остива аналогов аngiotензина (I)–(V) и эффективные времена корреляции  $\tau_{\text{эфф}}$  (с)

Соединение рН	(I)		(II)		(III)		(IV)		(V)	
	4,0	1,2	3,8	1,4	4,6	4,2	4,3			
$NT_1$	180	195	175	167	200	210	211			
$\tau_{\text{эфф}} \cdot 10^{10}$	2,6	2,4	2,7	2,9	2,3	2,2	2,7			

Таблица 3

#### Биологическая активность аngiotензина и его аналогов

Соединение	Прессор- ная актив- ность, %	pD <sub>2</sub> *	pA <sub>2</sub> **	Литера- тура
(I) Аngiotензин	100	9,7	—	[18, 32]
(II) [D-Tyr <sup>1</sup> , Ile <sup>8</sup> ]AT	0	Неактивный	—	
(III) [aza-Hva <sup>3</sup> , Ile <sup>8</sup> ]AT	0,1	—	9,7	
(IV) [D-Asn <sup>1</sup> , aza-D-Hty <sup>4</sup> ]AT	18	8,3	—	[28, 30]
(V) [Ile <sup>8</sup> ]AT	1,0	—	8,2	[31]
(VI) [aza-Hva <sup>3</sup> ]AT	20	8,2	9,2	[28]

\* pD<sub>2</sub> — показатель специфического сродства агонистов к рецепторам аngiotензина (colon ascendens крысы) — отрицательный логарифм концентрации агониста, при которой он развивает 50% эффект от максимального значения.

\*\* pA<sub>2</sub> — величина, характеризующая конкурентный антагонизм аналогов в отношении аngiotензина (colon ascendens крысы) — отрицательный логарифм концентрации антагониста, при которой концентрацию агониста необходимо удвоить для получения исходного эффекта.

ной цепи аngiotензина доказывают наличие факторов, ограничивающих конформационную подвижность С-концевой части молекулы. Таким фактором может служить изгиб, стабилизированный пролиновым остатком и внутримолекулярной водородной связью [27].

#### Экспериментальная часть

Синтез и свойства использованных соединений (IV)–(VI) описаны в работах [28–32]; соединения (II) и (III) получены и охарактеризованы аналогично. Биологические исследования аналогов (I)–(VI) проведены в лаборатории молекулярной биологии и фармакологии пептидов Института органического синтеза АН ЛатвССР под руководством В. Е. Клуши.

Спектры <sup>13</sup>C-ЯМР с полным подавлением спин-спинового взаимодействия ядер углерода и протонов получены на спектрометре WH-90 на рабочей частоте 22,63 МГц. Температура образца 42° С, концентрация растворов 0,1 М, количество накоплений для одного спектра 9000. ХС измерены относительно диоксана как внутреннего стандарта, величина химического сдвига которого относительно тетраметилсила (TMS) была принята равной 67,61 м.д., точность измерения  $\delta \pm 0,05$  м.д.

Значения рН раствора определены с помощью комбинированного стеклянного электрода на рН-метре OP-208 (Radelkis, Венгрия) при 20° С. Приведенные в работе рН соответствует показаниям рН-метра в <sup>2</sup>H<sub>2</sub>O.

Времена спин-решеточной релаксации T<sub>1</sub> определены с использованием импульсной последовательности (180°=τ=90°=T<sub>∞</sub>)<sub>n</sub>, где τ (задержка между импульсами 180° и 90°) менялась в пределах 20–400 мс, T<sub>∞</sub>=2 с, n=9000. T<sub>1</sub> определены методом корреляции трех параметров [33] с использованием 9 спектров. Точность определения T<sub>1</sub> ±10%.

## ЛИТЕРАТУРА

1. Галактионов С. Г., Никифорович Г. В., Чипенс Г. И., Шендерович М. Д. Ангиотензин: молекулярные механизмы действия. Рига: Зинатне, 1979, с. 24–77.
2. Smeby R. R., Fermandjian S. Conformation of angiotensin II.— In: Chemistry and biochemistry of amino acids, peptides and proteins. / Weinstein B., ed. New York — Basel: Marcel Dekker, 1978, v. 5, p. 117–162.
3. Chipens G., Nikiforovich G., Mutulis F., Veretennikova N., Vosekalna I., Sosnov A., Polevaya L., Ancans J., Mishlyakova N., Liepinsh E., Sekacis I., Breslav M. Cyclic analogs of linear peptides.— In: Peptides structure and biological function. Proceedings of the sixth american peptide symposium. / Gross E., Meienhofer J., eds. Rockford, Illinois: Pierce Chemical Company, 1979, p. 567–570.
4. Deslauriers R., Paiva A. C. M., Schaumburg K., Smith I. C. P. Conformational flexibility of angiotensin II. A carbon-13 spin-lattice relaxation study.— Biochemistry, 1975, v. 14, № 5, p. 878–886.
5. Секацис И. П., Лиепиньш Э. Э., Анцанс Ю. Е., Чипенс Г. И. Спектры ЯМР-<sup>13</sup>C среднего тетрапептида ангиотензина.— Изв. АН ЛатвССР. Сер. хим., 1980, № 5, с. 614–620.
6. Zimmer S., Haar W., Maurer W., Rüterjans H., Fermandjian S., Fromageot P. Investigation of the structure of angiotensin II using <sup>13</sup>C nuclear magnetic resonance spectra.— Eur. J. Biochem., 1972, v. 29, № 4, p. 80–87.
7. Keim P., Vigna R., Nigen A. M., Morrow J. S., Gurd F. R. N. Carbon-13 NMR of pentapeptides of glycine containing central residues of methionine, proline, arginine and lysine.— J. Biol. Chem., 1974, v. 249, № 13, p. 4149–4156.
8. Grathwohl Ch., Wüthrich K. Carbon-13 NMR of the protected tetrapeptides TFA-Gly-Gly-L-X-Ala-OCH<sub>3</sub>, where X stands for the 20 common amino acids.— J. Magn. Reson., 1974, v. 13, № 2, c. 217–225.
9. Howarth O. W., Lilley D. M. J. Carbon-13 NMR of peptides and proteins.— Progress in NMR spectroscopy, 1978, v. 12, p. 1–40.
10. Bleich H. E., Freer R. J., Stafford S. S., Galardy R. E. Correlation of the biological activity and solution conformation of [Asp<sup>1</sup>, Ile<sup>5</sup>]- and [Phe<sup>4</sup>, Tyr<sup>8</sup>]angiotensin II.— Proc. Nat. Acad. Sci. USA, 1978, v. 75, № 8, p. 3630–3634.
11. Doddrell D., Glushko V., Allerhand A. Theory of NOE and <sup>13</sup>C—<sup>1</sup>H dipolar relaxation in proton-decoupled carbon-13 NMR spectra of macromolecules.— J. Chem. Phys., 1972, v. 56, № 7, p. 3683–3689.
12. Allerhand A., Doddrell D., Komoroski R. Natural abundance carbon-13 partially relaxed fourier transform NMR spectra of complex molecules.— J. Chem. Phys., 1974, v. 55, № 1, p. 189–198.
13. Allerhand A., Komoroski R. A. Study of internal rotations in gramicidin S by means of carbon-13 spin-lattice relaxation measurements.— J. Amer. Chem. Soc., 1973, v. 95, № 25, p. 8228–8231.
14. Deslauriers R., Somorjai R. L. Internal rotations of side chains and backbone in luteinizing hormone-releasing hormone (LH-RH). Analysis of carbon-13 spin-lattice relaxation times.— J. Amer. Chem. Soc., 1976, v. 98, № 7, p. 1931–1939.
15. Deslauriers R., Ralston E., Somorjai R. L. Conformational studies on angiotensin II. Least-squares fit of carbon-13 NMR relaxation times to extended and folded conformations.— J. Mol. Biol., 1977, v. 113, № 5, p. 697–710.
16. Fermandjian C., Lintner K., Haar W., Fromageot P., Khosla M. C., Smeby R. R., Bumpus F. M. Conformation-function relationship of angiotensin II and analogs.— In: Peptides 1976. Proceedings of the 14th European Peptide Symposium, Wepion, Belgium, 1976, p. 339–352.
17. Juliano L., Paiva A. C. M. Conformation of angiotensin II in aqueous solution. Titration of several peptide analogs and homologs.— Biochemistry, 1974, v. 13, № 11, p. 2445–2450.
18. Khosla M. C., Smeby R. R., Bumpus F. M. Structure — activity relationship in angiotensin II analogs.— In: Handbook of experimental pharmacology. / Page I. H., Bumpus F. M., eds. Berlin: Springer-Verlag, 1974, v. 37, p. 126–161.
19. Fermandjian S., Pradelles P., Fromageot P., Dunand J. J. Proton NMR studies on thyrothropin releasing factor.— FEBS Lett., 1972, v. 28, № 2, p. 156–160.
20. Weinkam R. J., Jorgensen E. C. Angiotensin II analogs. VIII. The use of free radical containing peptides to indicate the conformation of the carboxyl terminal region of angiotensin II.— J. Amer. Chem. Soc., 1971, v. 93, № 25, p. 7033–7038.
21. Балодис Ю. Ю., Вегнер Р. Э., Никифорович Г. В., Чипенс Г. И. Теоретический конформационный анализ метиламидов N-ацетил-аза- $\alpha'$ -гомо-L-аминокислот.— Биоорган. химия, 1978, т. 4, № 4, с. 481–488.
22. Никифорович Г. В., Шендерович М. Д., Галактионов С. Г. Теоретический конформационный анализ молекулы ангиотензина.— Биоорган. химия, 1976, т. 2, № 9, с. 1268–1270.
23. Fermandjian S., Piriou F., Lintner K., Toma H., Lam-Than H., Fromageot P., Khosla M. C., Smeby R. R., Bumpus F. M. Arrangement of the amino acid side chains in angiotensin II.— In: Peptides structure and biological function. Proceeding of the

- sixth american peptide symposium. / Gross E., Meienhofer J., eds. Rockford, Illinois: Pierce Chemical Company, 1979, p. 205–208.
24. Piriou F., Lintner K., Fermandjian S., Fromageot P., Khosla M. C., Smeby R. R., Bumpus F. M. Amino acid side chain conformation in angiotensin II and analogs: correlated result of CD and  $^1\text{H-NMR}$ .— Proc. Nat. Acad. Sci. USA, 1980, v. 77, № 1, p. 82–86.
  25. Секацис И. П., Лиепиньш Э. Э., Анцанс Ю. Е., Чипенс Г. И. Исследование пространственной структуры среднего тетрапептида аngiotензина методом спектроскопии ЯМР  $^1\text{H}$ .— Изв. АН ЛатвССР. Сер. хим., 1980, № 3, с. 349–353.
  26. Lintner K., Fermandjian S., Fromageot P., Khosla M. C., Smeby R. R., Bumpus F. M. pH Titration effects on the CD spectra of angiotensin II truncated peptides and other analogues: aromatic region.— FEBS Lett., 1975, v. 56, № 2, p. 366–369.
  27. Weinkam R. J., Jorgensen E. C. Angiotensin II analogs. IX. Conformational studies of angiotensin II by PMR.— J. Amer. Chem. Soc., 1971, v. 93, № 25, p. 7038–7044.
  28. Chipens G., Ançan J., Afanasyeva G., Balodis J., Indulen J., Klusha V., Kudryashova V., Liepinsh E., Makarova N., Mishlyakova N. Structure and biological activity of angiotensin analogues comprising aza- $\alpha'$ -homoamino-acids.— In: Peptides 1976. Proceedings of the 14th European Peptide Symposium, Wepion, Belgium, 1976, p. 353–360.
  29. Чипенс Г. И., Павар А. П., Клуша В. Е., Анцанс Ю. Е., Кибиров В. К. Синтез и исследование миотропной активности некоторых фрагментов (5-валин) аngiotензина.— Химия природы. соед., 1973, № 1, с. 77–83.
  30. Анцанс Ю. Е., Чипенс Г. И. Синтез фрагментов и аналогов (1-аспарагин, 5-валин) аngiotензина II с энантиомерными формами тирозина и азагомотирозина.— Биоорг. химия, 1975, т. 1, № 10, с. 1410–1417.
  31. Анцанс Ю. Е., Чипенс Г. И. Синтез (1-аспарагин, 5-валин-, 8-изо-лейцин)-ангiotензина II.— Изв. АН ЛатвССР. Сер. хим., 1978, № 1, с. 89–93.
  32. Мишлякова Н. В., Индулен Ю. И., Клуша В. Е., Чипенс Г. И. Применение специфических ингибиторов аngiotензина при исследовании гормон-рецепторного взаимодействия.— Биохимия, 1976, т. 41, вып. 6, с. 1008–1012.
  33. Kowalewski J., Levy G. C., Johnson L. F., Palmer L. A three-parameter non-linear procedure for fitting inversion-recovery measurement of spin-lattice relaxation times.— J. Magn. Reson., 1977, v. 26, № 3, p. 533–536.

Поступила в редакцию  
5.VIII.1980  
После доработки  
20.I.1981

## CONFORMATIONAL MOBILITY OF ANGIOTENSIN AND SOME ANALOGS REVEALED BY $^{13}\text{C}$ SPIN-LATTICE RELAXATION TIMES

SEKACIS I. P., LIEPINSH E. E., ANSANS Yu. E., BERGA D. A.,  
CHIPENS G. I.

*Institute of Organic Synthesis, Academy of Sciences  
of the Latvian SSR, Riga*

22,63 MHz proton-decoupled  $^{13}\text{C}$  nuclear magnetic resonance spectra were taken and  $^{13}\text{C}$  spin-lattice relaxation times  $T_1$  measured for aqueous solutions of angiotensin and four its analog. It was found that different segments of angiotensin backbone are not equally restricted in their motion. Conformational mobility of the residues belonging to the C-terminal part is low at pH 4.0. Protonation of  $\alpha$ -carboxyl group entails an increase in mobility of the C-terminal portion, as well as of the whole angiotensin molecule.